

Figura 324. Componente real de las corrientes estáticas.  
 $f_e=500\text{Hz}$  -  $f_r=20\text{Hz}$  -  $s=0.20$ .  $p=20$ .

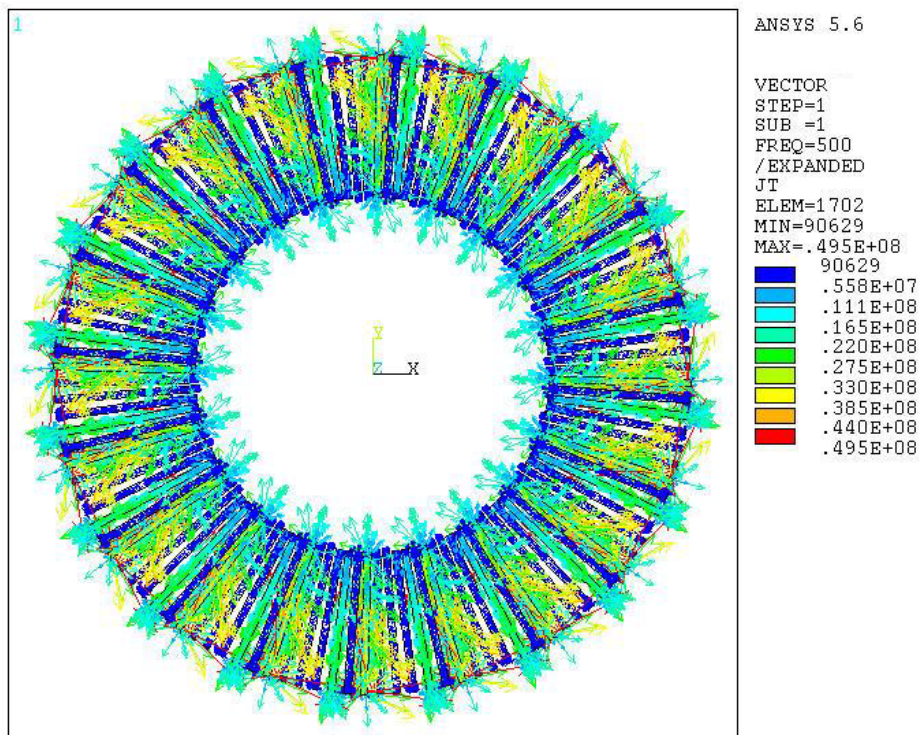


Figura 325. Componente imaginaria de las corrientes estáticas.  
 $f_e=500\text{Hz}$  -  $f_r=20\text{Hz}$  -  $s=0.20$ .  $p=20$ .

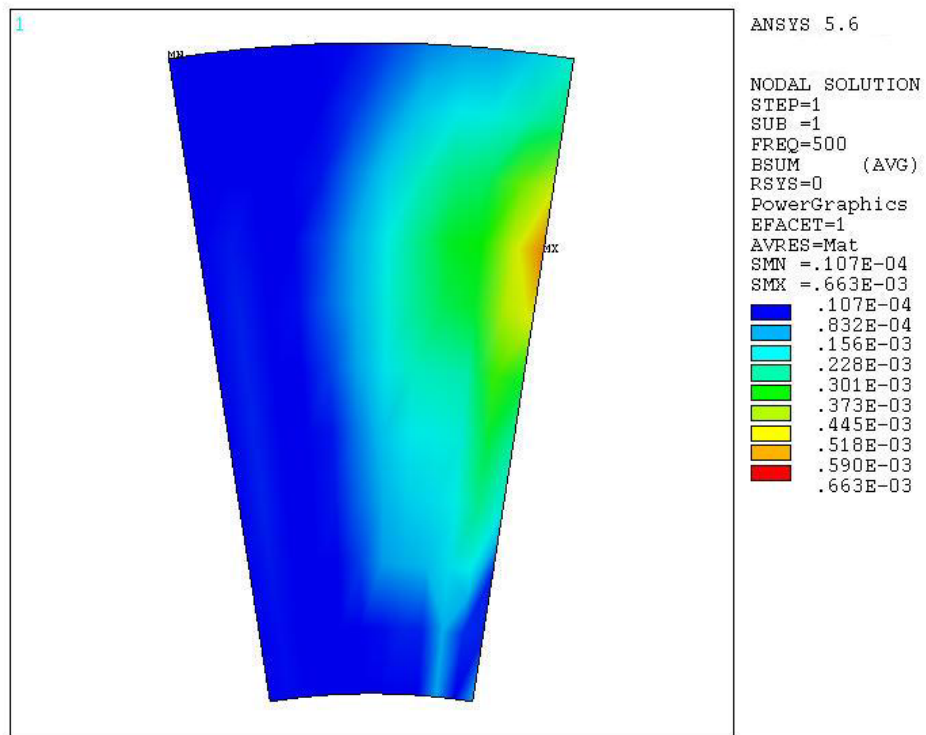


Figura 326. Componente real de la densidad de campo B.  
 $f_e=500\text{Hz}$  -  $f_r=20\text{Hz}$  -  $s=0.20$ .  $p=20$ .

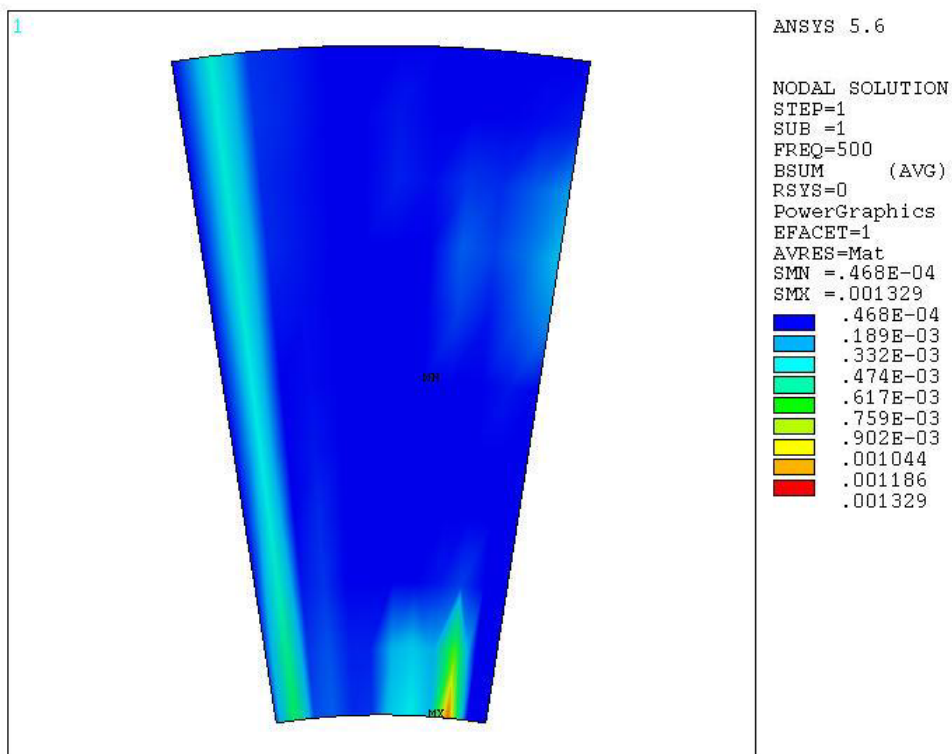


Figura 327. Componente imaginaria de la densidad de campo B.  
 $f_e=500\text{Hz}$  -  $f_r=20\text{Hz}$  -  $s=0.20$ .  $p=20$ .

A.1.5.3.  $s=0.50$  -  $f_r=12.5\text{Hz}$ .

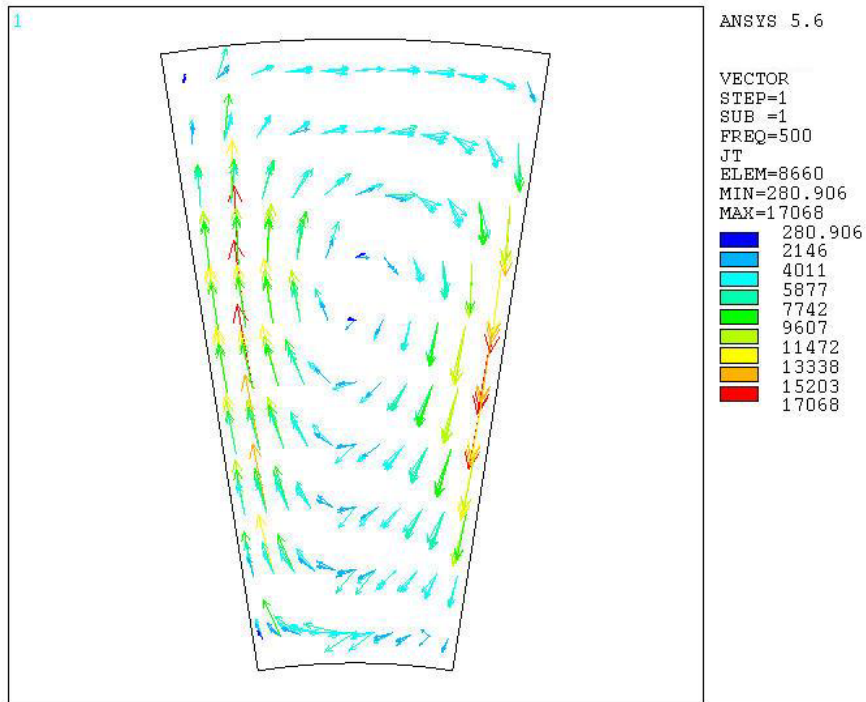


Figura 328. Componente real de la J del rotor.  $f_e=500\text{Hz}$  -  $f_r=12.5\text{Hz}$  -  $s=0.50$ . Distribución por par de polos  $p=20$ .

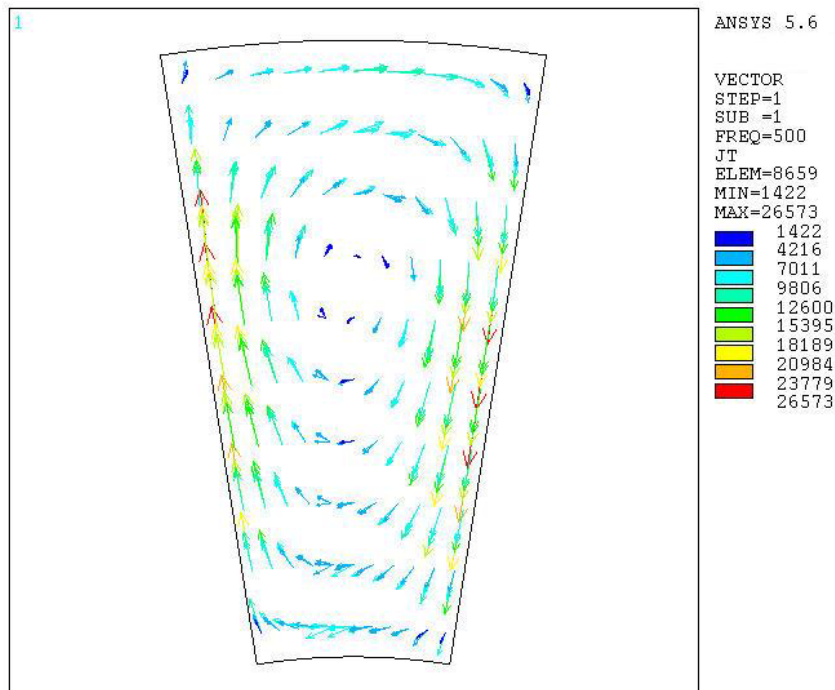


Figura 329. Componente imaginaria de la J del rotor.  $f_e=500\text{Hz}$  -  $f_r=12.5\text{Hz}$  -  $s=0.50$ . Distribución por par de polos  $p=20$ .

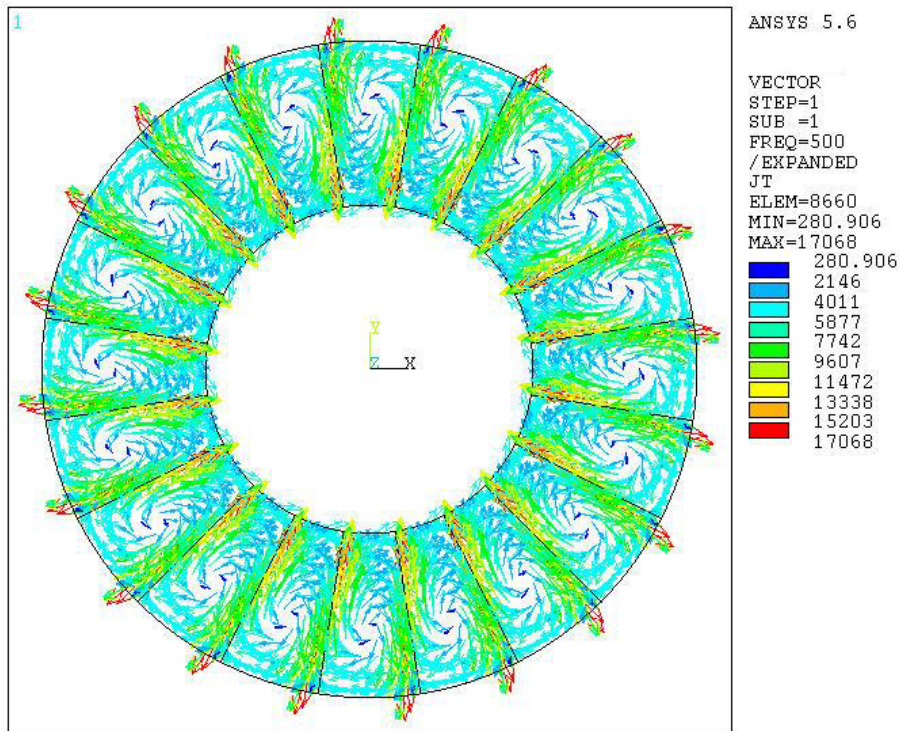


Figura 330. Componente real de la J del rotor.  $f_e=500\text{Hz}$  -  $f_r=12.5\text{Hz}$  -  $s=0.50$ .  $p=20$ .

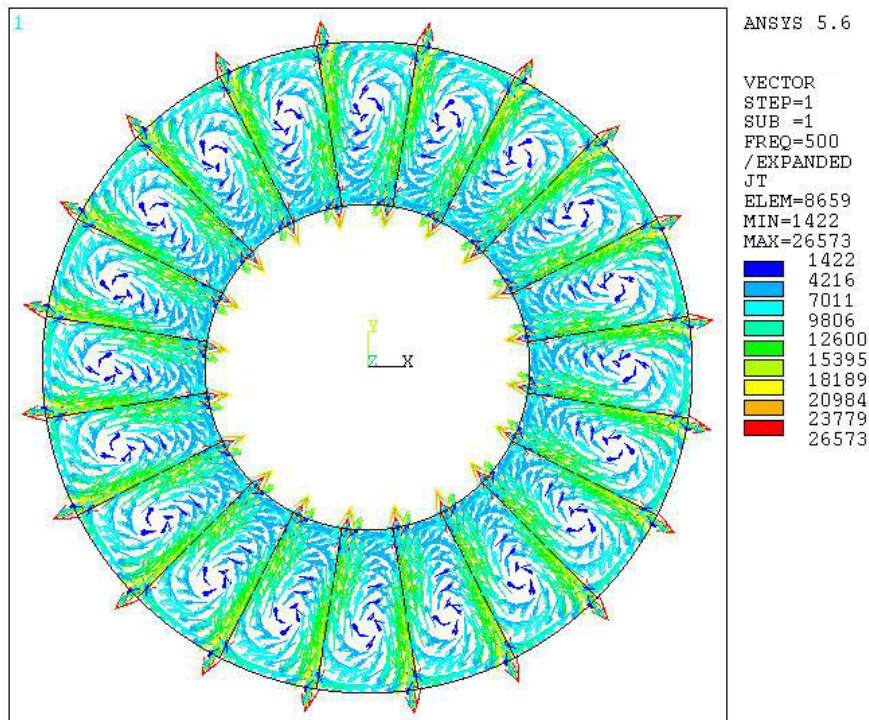


Figura 331. Componente imaginaria de la J del rotor.  $f_e=500\text{Hz}$  -  $f_r=12.5\text{Hz}$  -  $s=0.50$ .  $p=20$ .

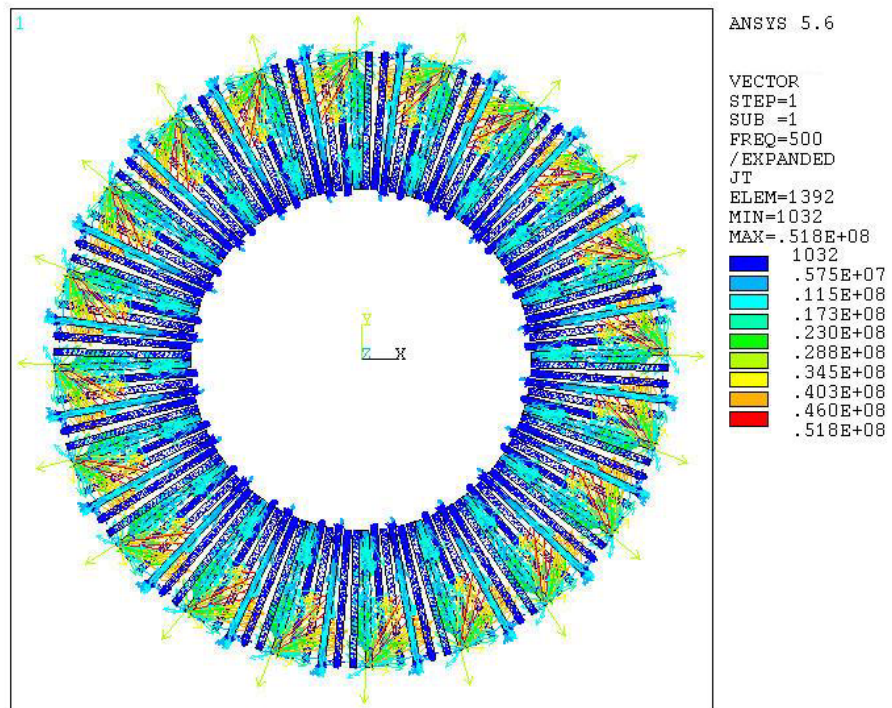


Figura 332. Componente real de las corrientes estáticas.  
 $f_e=500\text{Hz}$  -  $f_r=12.5\text{Hz}$  -  $s=0.50$ .  $p=20$ .

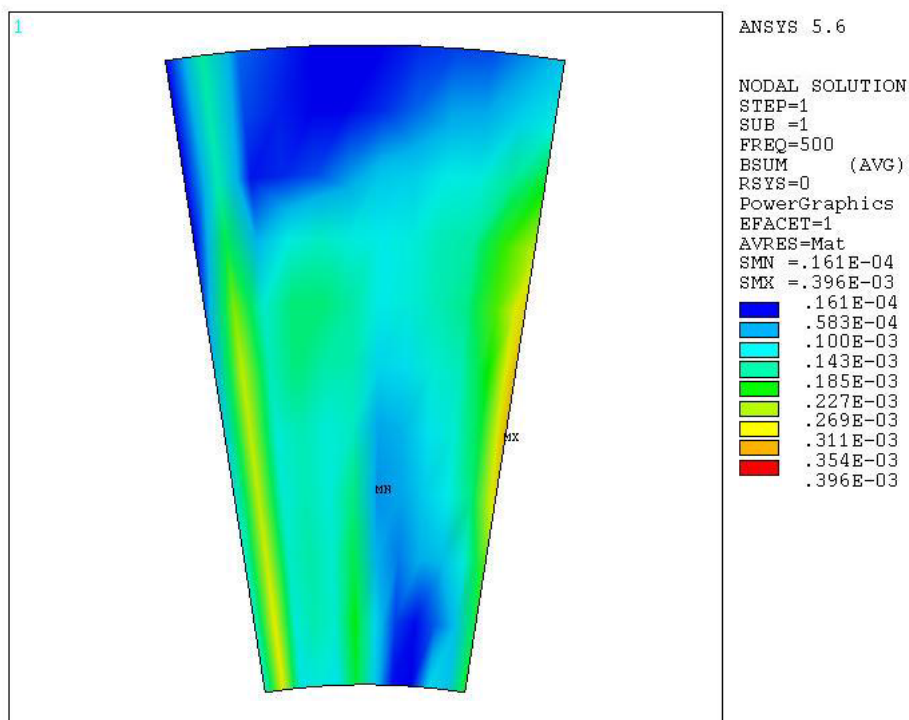


Figura 333. Componente real de la densidad de campo B.  
 $f_e=500\text{Hz}$  -  $f_r=12.5\text{Hz}$  -  $s=0.50$ .  $p=20$ .

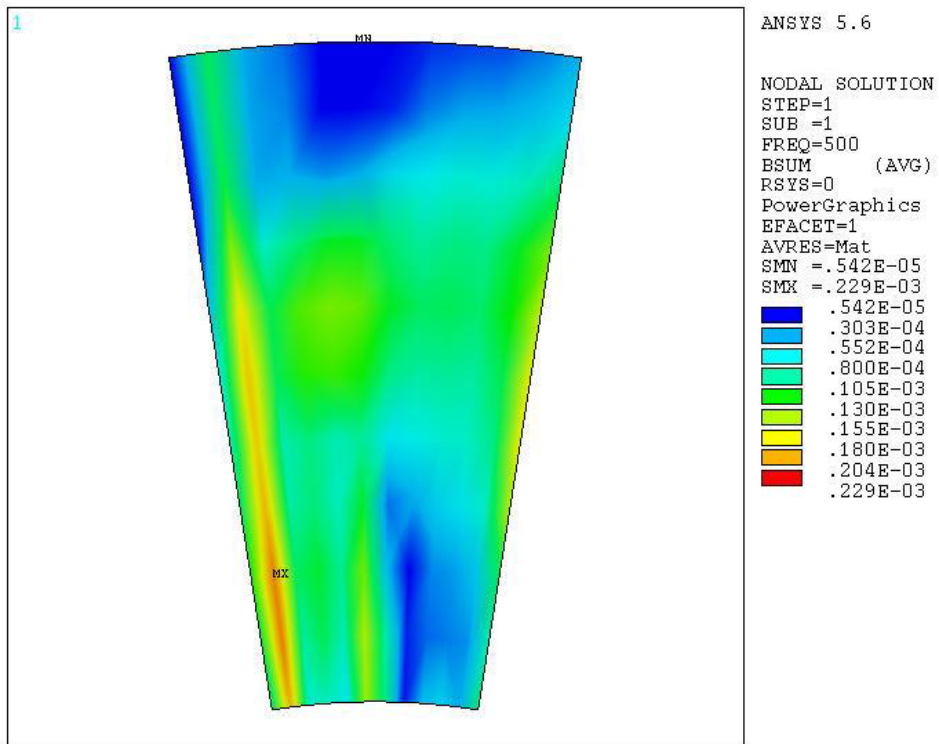


Figura 334. Componente imaginaria de la densidad de campo B.  
fe=500Hz - fr=12.5Hz - s=0.50. p=20. p=20.

A.1.5.4.  $s=0.999$  -  $f_r=0.025\text{Hz}$ .

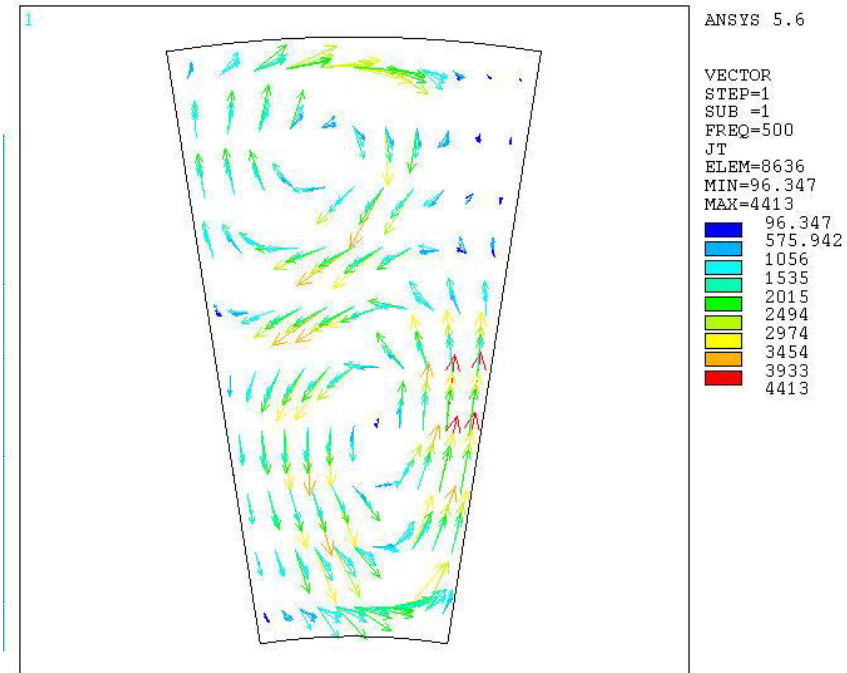


Figura 335. Componente real de la J del rotor.  $f_e=500\text{Hz}$  -  $f_r=0.025\text{Hz}$  -  $s=0.999$ . Distribución por par de polos  $p=20$ .

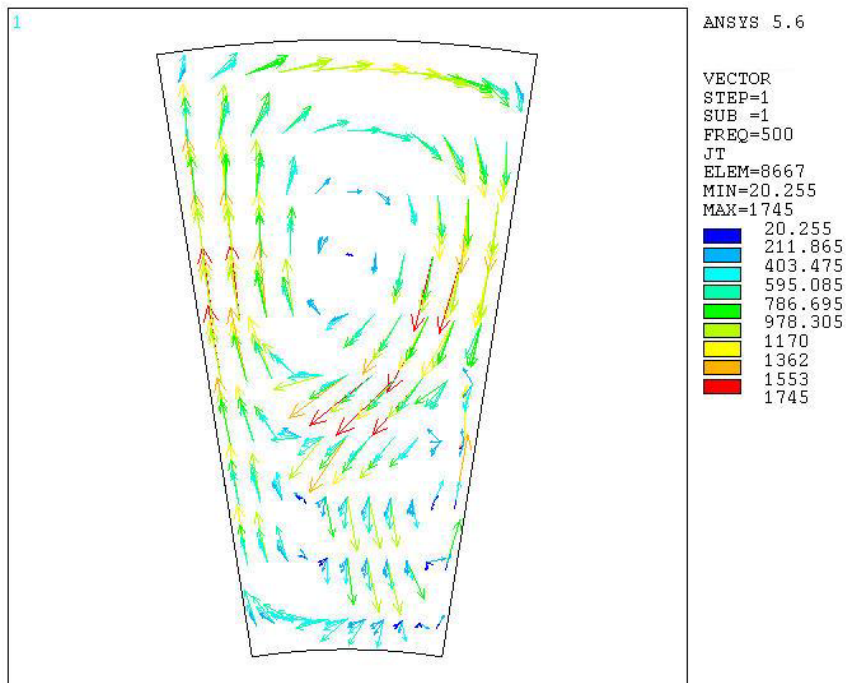


Figura 336. Componente imaginaria de la J del rotor.  $f_e=500\text{Hz}$  -  $f_r=0.025\text{Hz}$  -  $s=0.999$ . Distribución por par de polos  $p=20$ .

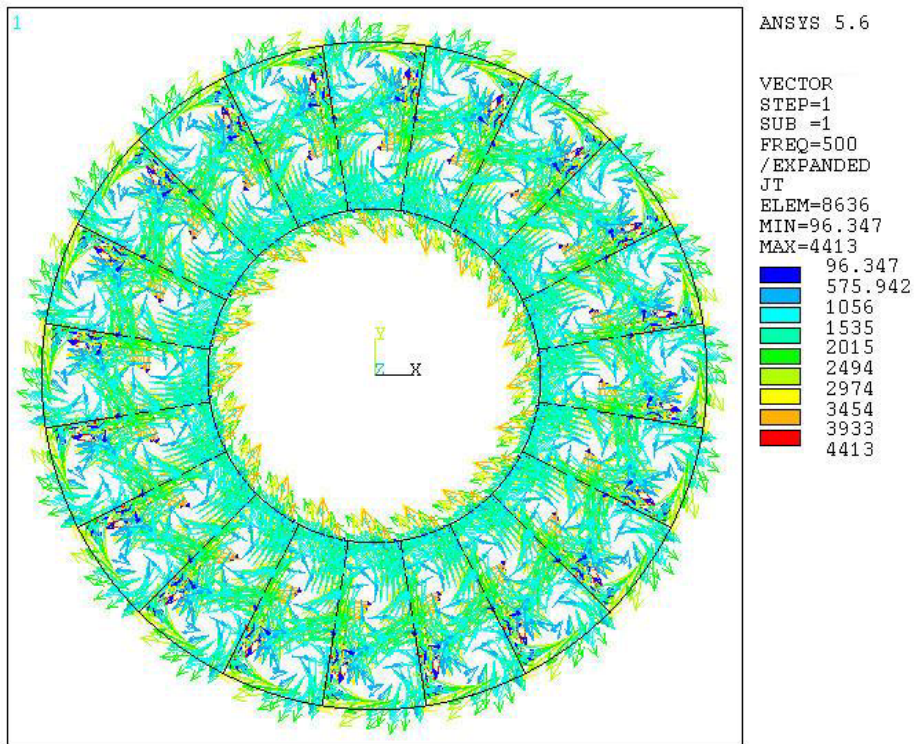


Figura 337. Componente real de la J del rotor.  $f_e=500\text{Hz}$  -  $f_r=0.025\text{Hz}$  -  $s=0.999$ ,  $p=20$ .

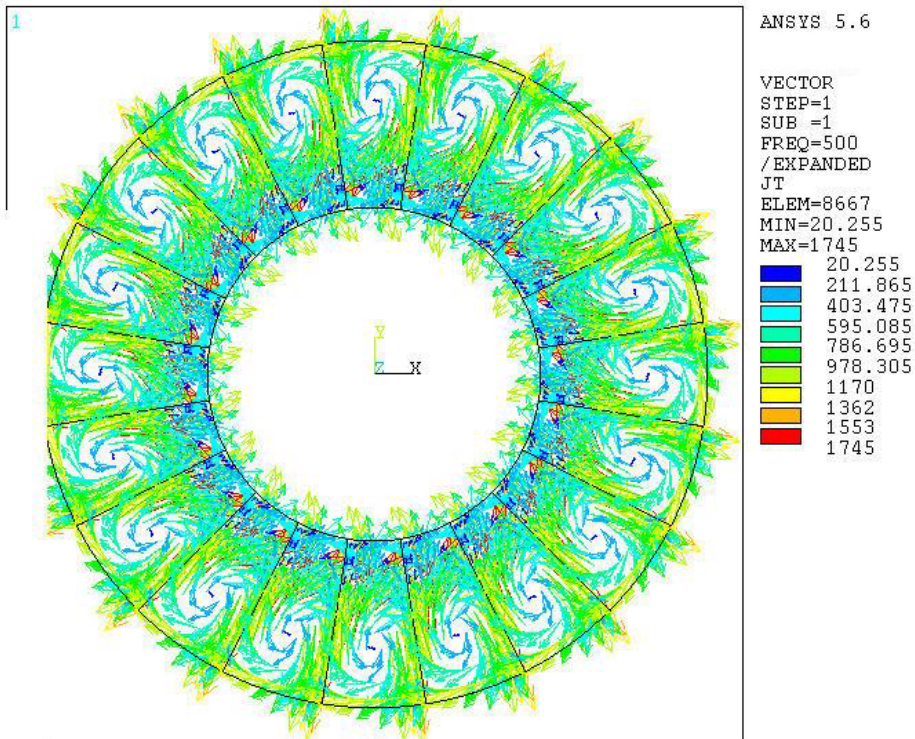


Figura 338. Componente imaginaria de la J del rotor.  $f_e=500\text{Hz}$  -  $f_r=0.025\text{Hz}$  -  $s=0.999$ ,  $p=20$ .



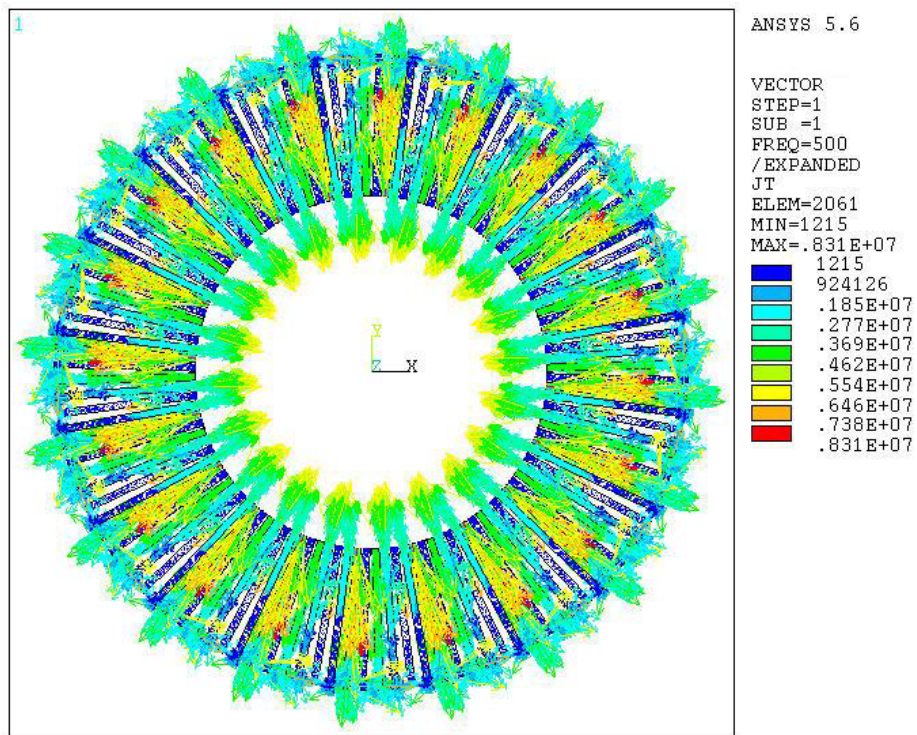


Figura 339. Componente real de las corrientes estáticas.  
 $f_e=500\text{Hz}$  -  $f_r=0.025\text{Hz}$  -  $s=0.999$ .  $p=20$ .

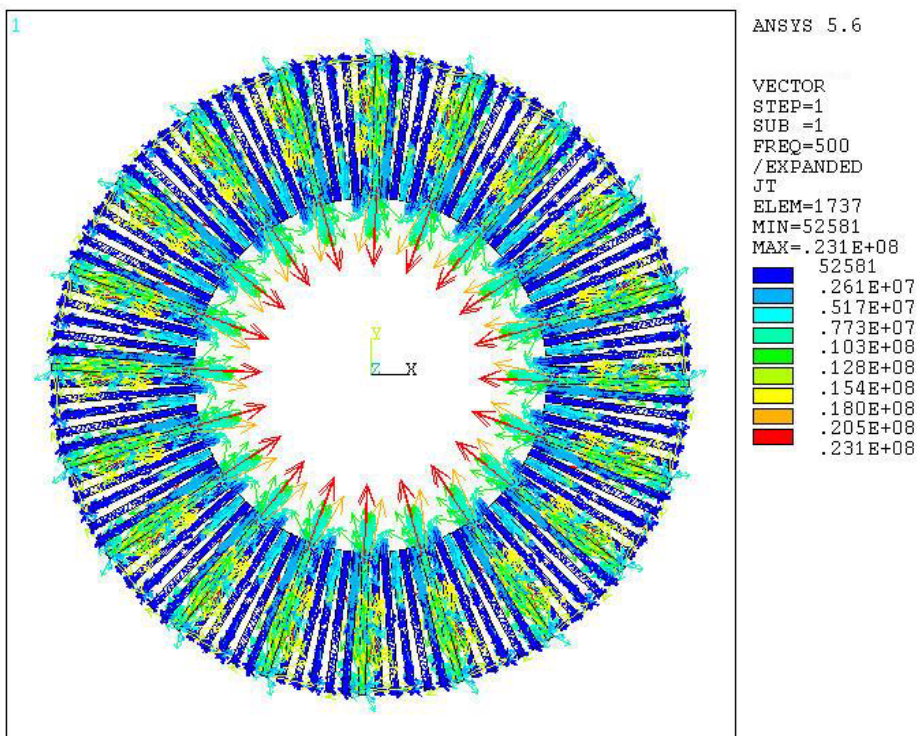


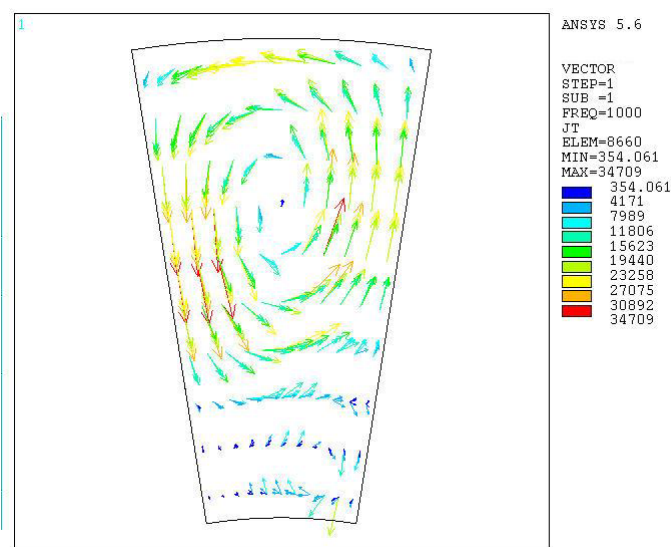
Figura 340. Componente imaginaria de las corrientes estáticas.  
 $f_e=500\text{Hz}$  -  $f_r=12.5\text{Hz}$  -  $s=0.50$ .  $p=20$ .

**A.1.6. Comportamiento del motor a una fe de 1000 Hz, al variar el deslizamiento de  $s=0.05$  hasta  $s=0.999$ .**

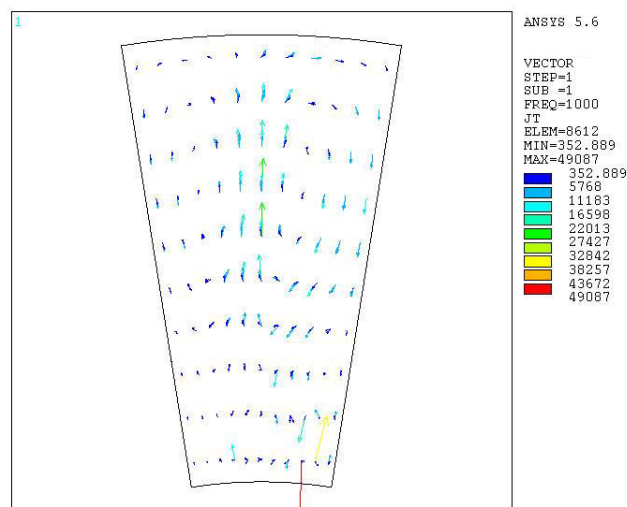
**A.1.6.1.  $s=0.05$  -  $fr=47.5\text{Hz}$ .**

Ver A.1.1.6.

**A.1.6.2.  $s=0.20$  -  $fr=40\text{Hz}$ .**



**Figura 341. Componente real de la J del rotor.  $f_e=1000\text{Hz}$  -  $fr=40\text{Hz}$  -  $s=0.20$ . Distribución por par de polos  $p=20$ .**



**Figura 342. Componente imaginaria de la J del rotor.  $f_e=1000\text{Hz}$  -  $fr=40\text{Hz}$  -  $s=0.20$ . Distribución por par de polos  $p=20$ .**